

KAWASAKI STEEL GIHO

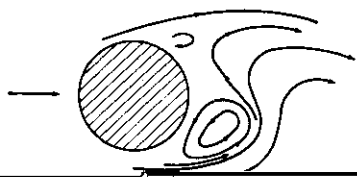
Vol. 22(1990) No.1

---

Design of Highway Light Pole with Resistance to Wind Vortex-

22 (1990) 1, 44-51

## Design of Highway Light Pole with Resistance



### 3 照明柱の断面形状と渦励振

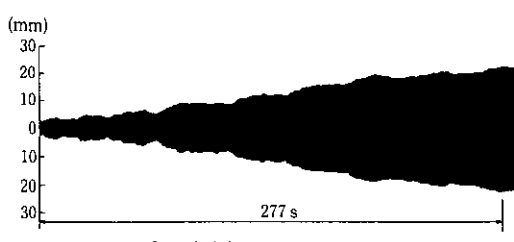
#### 3.1 風洞実験

図3-1は、風洞実験によって得られた、各断面形状における、揚抗・揚動加速度応答の変化を示す。図3-2は、各断面形状における、揚抗・揚動加速度応答の変化を示す。

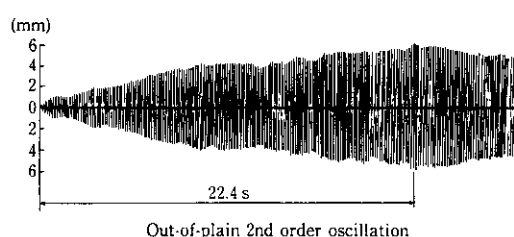
図3-1は、風洞実験によって得られた、各断面形状における、揚抗・揚動加速度応答の変化を示す。図3-2は、各断面形状における、揚抗・揚動加速度応答の変化を示す。

Table 1 Results of wind tunnel test (Octagonal pole)

Measured items	Oscillation mode	Out-of-plane 1st mode	Out-of-plane 2nd mode
Frequency $f$ (Hz)		2.82	7.13
Velocity in resonant state $V$ (m/s)		3.8	9.0
Strouhal number $S_t$		0.16	0.17
Displacement amplitude at top of pole (mm)		22.7	5.7
Acceleration amplitude at top of pole (cm/s <sup>2</sup> )		697	1 013



Out-of-plane 1st order oscillation



Out-of-plane 2nd order oscillation

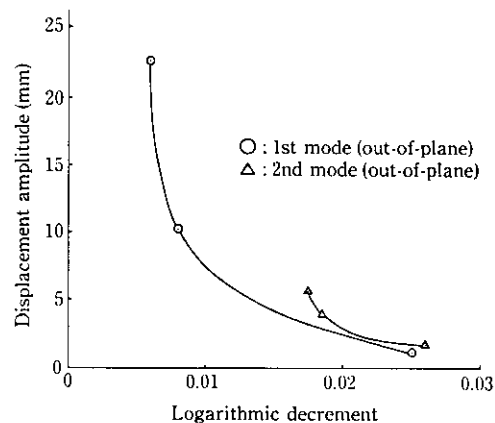


Fig. 4 Effect of logarithmic decrement on the displacement amplitude of the top of the octagonal pole at resonant state

Fig. 5 Shape of response waves in resonant state (octagonal pole)

Table 2 Results of wind tunnel test (round pole)

Measured items	Oscillation mode	Out-of-plane 2nd mode	Out-of-plane 3rd mode	Out-of-plane 4th mode
Frequency $f$ (Hz)		5.58	13.55	29
Velocity in resonant state $V$ (m/s)		4.0	9.8	17.8
Strouhal number $S_t$		0.18	0.18	0.20
Displacement amplitude at top of pole (mm)		0.7	0.7	0.04
Acceleration amplitude at top of pole (cm/s <sup>2</sup> )		82	550	190

程度が上限値と考えられる。したがって、八角柱の3次振動については検討の対象外とした。各振動モードが発生すると風速、振動振幅、加速度、ストローハル数等の試験結果概要をTable 1に示す。



Table 3 Effect of cross-section of the pole on oscillation

Cross section	Nondimension	Maximum dis-
---------------	--------------	--------------

ある。

一七 物体の衝突性ベータ値 相手ノリ田口 五年級生高橋

Diameter of steel ball : 50.8 mm $\phi$

いても、飛行機翼や工作機械を対象にこれまでに研究がなされている。このタイプの制振装置については、構造物に 1 サイクルの外力

Finished surface : #150



る。反発係数が小さいと衝突後の速度が小さくなるため、より大きい入力速度でないと同期運動しないことを示している。入力速度  $\phi$  とパラメータ  $C/\phi$  の関係を直線近似したものを式(5)に示す。

$$C/\phi = 0.0030\bar{\phi} + 1.7 \quad (100 \leq \bar{\phi} \leq 800) \quad (5)$$

Table 5 Comparison between experimental and analysed response of octagonal pole oscillation

Oscillation mode	Out-of-plane 1st mode	Out-of-plane 2nd mode		
	Experi- mental	Analysed	Experi- mental	Analysed

でも同期運動する傾向がある。

（写真） 同期運動による横浜港の照明柱の揺れ

m の斜長橋であり、新しい横浜港のシンボルとしての役割をも果た

す。また、照明柱は、Dante によって、技術的革新が細かく

## 6まとめ

基礎（あるいは橋梁の桁）との結合条件は非常に重要で、ダン